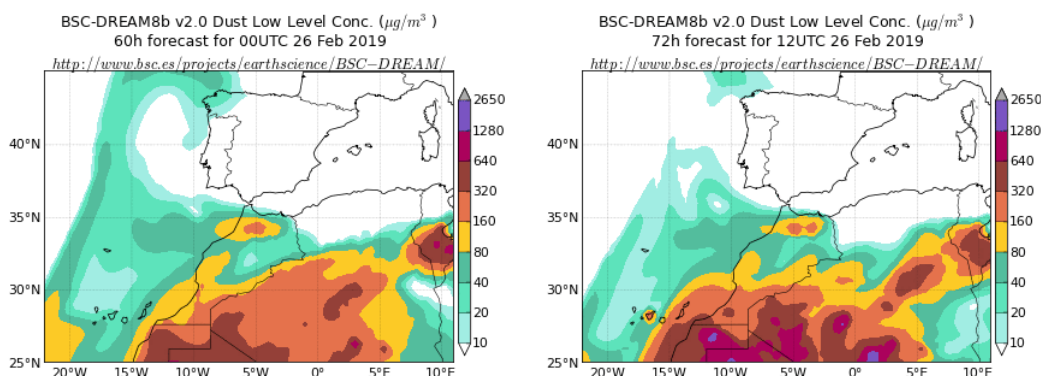


Predicción de intrusión de masas de aire africano sobre España para el día 26 de febrero de 2019

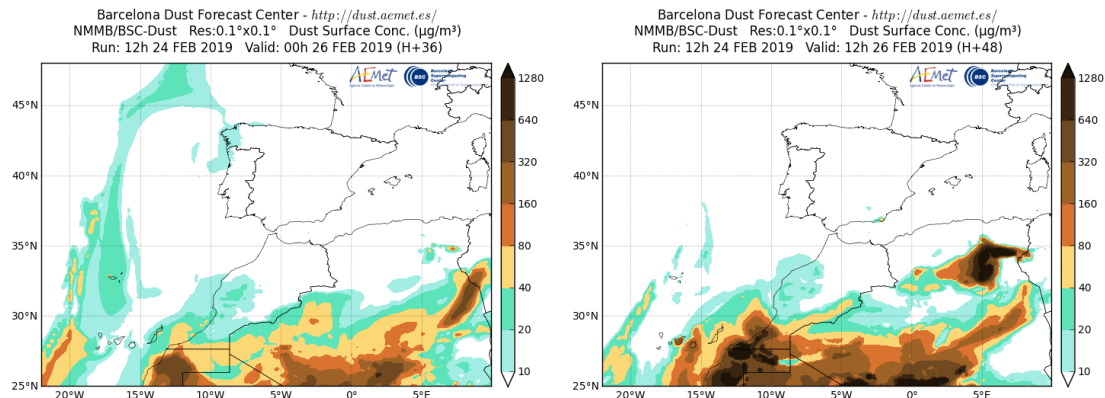
Los modelos consultados prevén la continuación del evento de intrusión de masas de aire africano que está afectando a la Península y las islas Canarias durante el día 26 de febrero. Estiman concentraciones de polvo en superficie en los rangos 10-320 $\mu\text{g}/\text{m}^3$ para las islas Canarias y 10-40 $\mu\text{g}/\text{m}^3$ para el noroeste de la Península. Según el modelo SKIRON también podría producirse depósito seco de polvo sobre el sur de la Península y las islas Canarias a lo largo del día.

El modelo BSC-DREAM8b v2.0 prevé la presencia de masas de aire africano a nivel de superficie sobre el noroeste de la Península y las islas Canarias para el día 26 de febrero. Estima concentraciones de polvo en superficie en los rangos 10-40 $\mu\text{g}/\text{m}^3$ para el noroeste peninsular y 10-320 $\mu\text{g}/\text{m}^3$ para las islas Canarias.



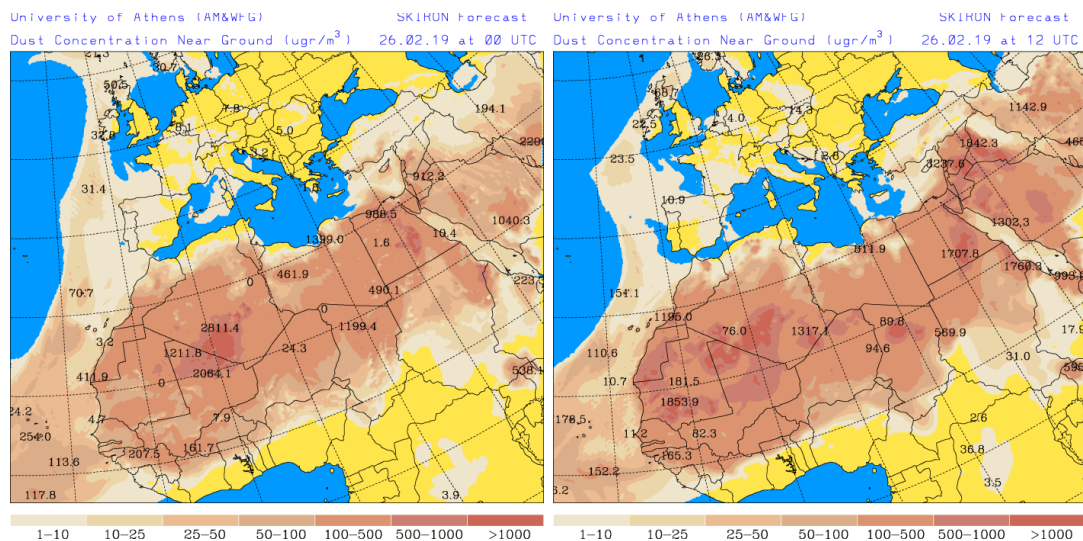
Concentración de polvo ($\mu\text{g}/\text{m}^3$) predicha por el modelo BSC-DREAM8b v2.0 para el día 26 de febrero de 2019 a las 00 UTC (izquierda) y a las 12 UTC (derecha). © Barcelona Supercomputing Center.

El modelo NMMB/BSC-Dust prevé también la presencia de polvo a nivel de superficie sobre el noroeste y sureste de la Península y las islas Canarias para el día 26 de febrero. Estima concentraciones de polvo en superficie en los rangos 10-640 $\mu\text{g}/\text{m}^3$ para las islas Canarias, 10-80 $\mu\text{g}/\text{m}^3$ para el sureste peninsular y 10-20 $\mu\text{g}/\text{m}^3$ para el noroeste de la Península.



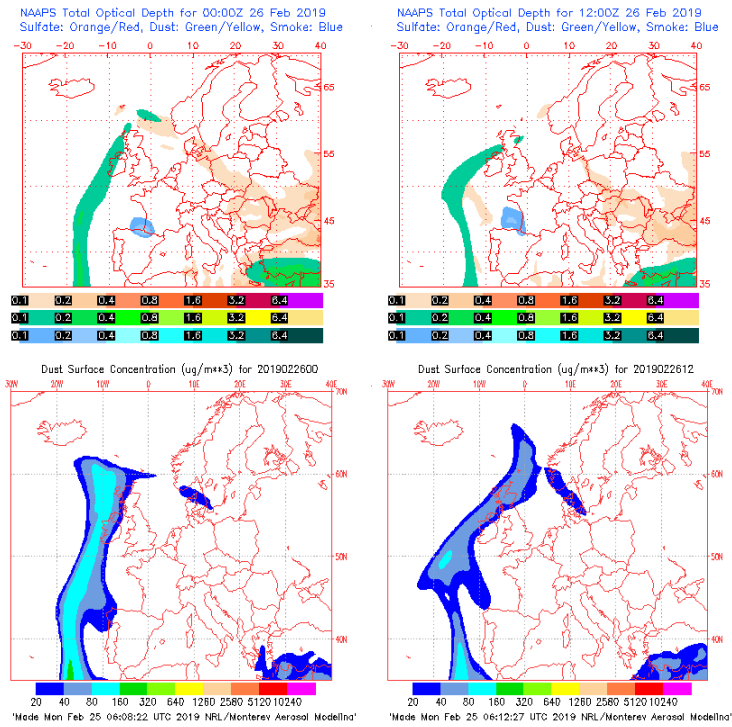
Concentración de polvo ($\mu\text{g}/\text{m}^3$) predicha por el modelo NMMB/BSC-Dust para el día 26 de febrero de 2019 de 2018 a las 00 UTC (izquierda) y a las 12 UTC (derecha). © Barcelona Dust Forecast Center.

El modelo SKIRON prevé también la presencia de masas de aire africano sobre la Península y las islas Canarias para el día 26 de febrero. Estima concentraciones de polvo en superficie en los rangos $1\text{-}50 \mu\text{g}/\text{m}^3$ para las islas Canarias, $1\text{-}25 \mu\text{g}/\text{m}^3$ para el noroeste peninsular, e inferiores a $10 \mu\text{g}/\text{m}^3$ para otras zonas de la Península y las islas Baleares.

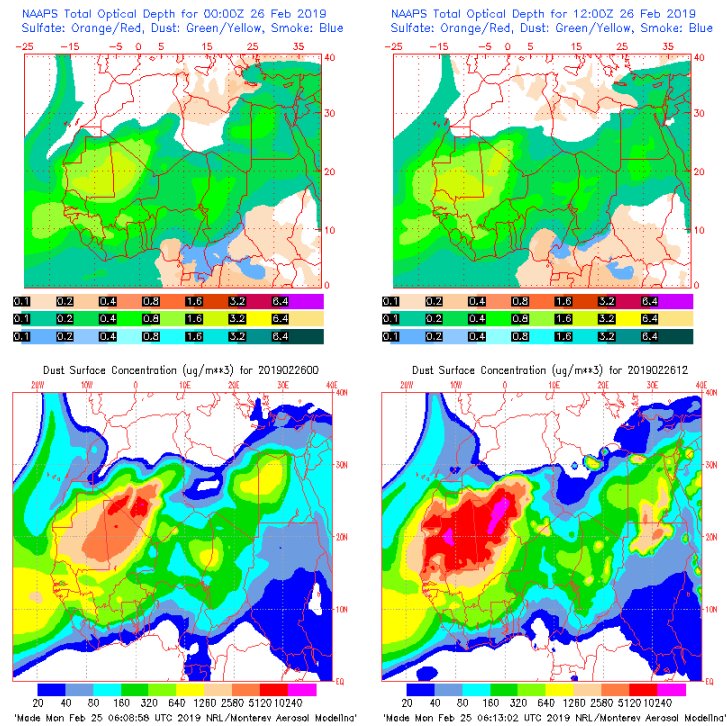


Concentración de polvo ($\mu\text{g}/\text{m}^3$) predicha por el modelo SKIRON para el día 26 de febrero de 2019 a las 00 UTC y a las 12 UTC © Universidad de Atenas.

El modelo NAAPs prevé también la presencia de masas de aire africano en superficie sobre el noroeste de la Península y las islas Canarias durante el día 26 de febrero. Estima concentraciones de polvo en superficie en los rangos $20\text{-}160 \mu\text{g}/\text{m}^3$ para las islas Canarias y $20\text{-}40 \mu\text{g}/\text{m}^3$ para el noroeste peninsular.

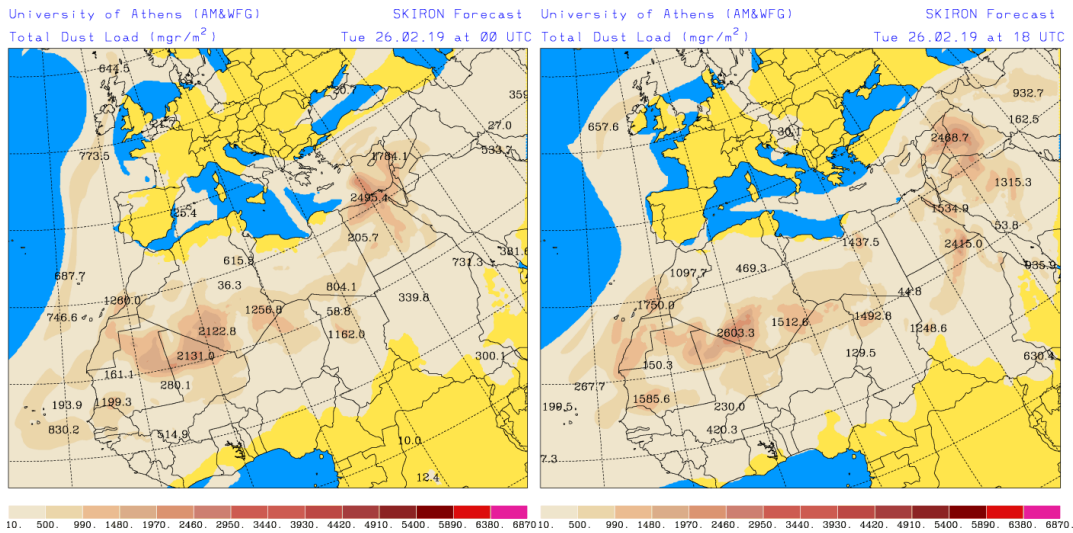


Espesor óptico de aerosoles a 550 nm (arriba) y concentración de polvo a nivel de superficie (abajo) previstos por el modelo NAAPS para el día 26 de febrero de 2019 a las 00 UTC y a las 12 UTC. ©Naval Research Laboratory (NRL), Monterey, CA.

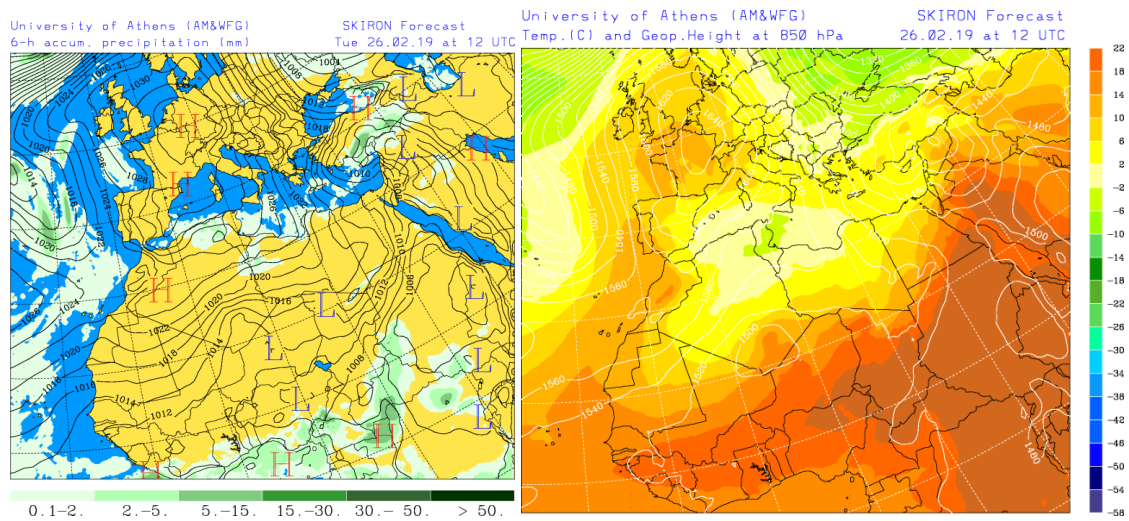


Espesor óptico de aerosoles a 550 nm (arriba) y concentración de polvo a nivel de superficie (abajo) previstos por el modelo NAAPS para el día 26 de febrero de 2019 a las 00 UTC y a las 12 UTC. ©Naval Research Laboratory (NRL), Monterey, CA.

Los mapas de carga total de polvo, así como los de presión a nivel del mar y altura geopotencial a nivel de 850 hPa proporcionados por el modelo SKIRON, muestran la presencia de masas de aire africano sobre la Península y las islas Canarias, favorecida por las altas presiones predominantes sobre Europa y el Mediterráneo y la borrasca situada sobre el norte de África.

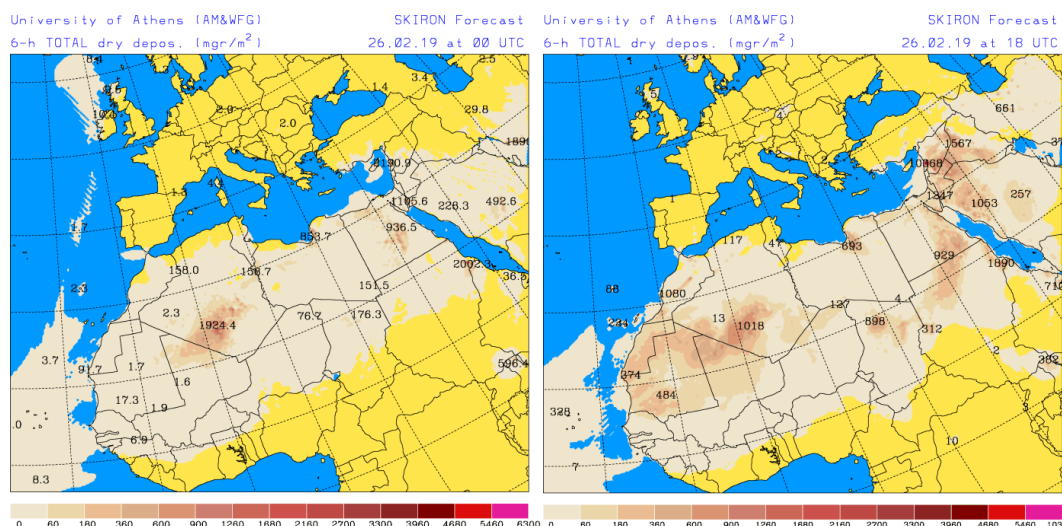


Carga total de polvo (mg/m²) predicha por el modelo SKIRON para el día 26 de febrero de 2019 a las 00 UTC (izquierda) y a las 18 UTC (derecha). © Universidad de Atenas.



Precipitación acumulada (mm) y presión a nivel del mar (hPa) (izquierda) y campo de temperaturas (°C) y de altura geopotencial a 850 hPa (derecha) previsto por el modelo SKIRON para el día 26 de febrero de 2019 a las 12 UTC. © Universidad de Atenas.

Según el modelo SKIRON también podría producirse depósito seco de polvo sobre el sur de la Península y las islas Canarias a lo largo del día 26 de febrero.



Depósito seco de polvo (mg/m^2) predicho por el modelo SKIRON para el día 26 de febrero de 2019 a las 00 UTC (izquierda) y a las 18 UTC (derecha). © Universidad de Atenas

 Fecha de elaboración de la predicción: 25 de febrero de 2019

Predicción elaborada por Noemí Pérez (IDAEA-CSIC)

Los datos son propiedad de la Dirección General de Calidad y Evaluación Ambiental, del Ministerio para la Transición Ecológica, y han sido obtenidos y se suministran en el marco del “Encargo del Ministerio para la Transición Ecológica a la Agencia Estatal Consejo Superior de Investigaciones Científicas para la detección de episodios naturales de aportes transfronterizos de partículas y otras fuentes de contaminación de material particulado, y de formación de ozono troposférico”.